

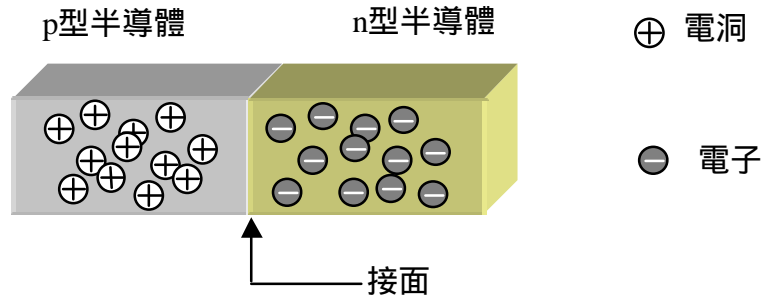
## 二極體原理

1. 二極體之基本結構---pn 接面

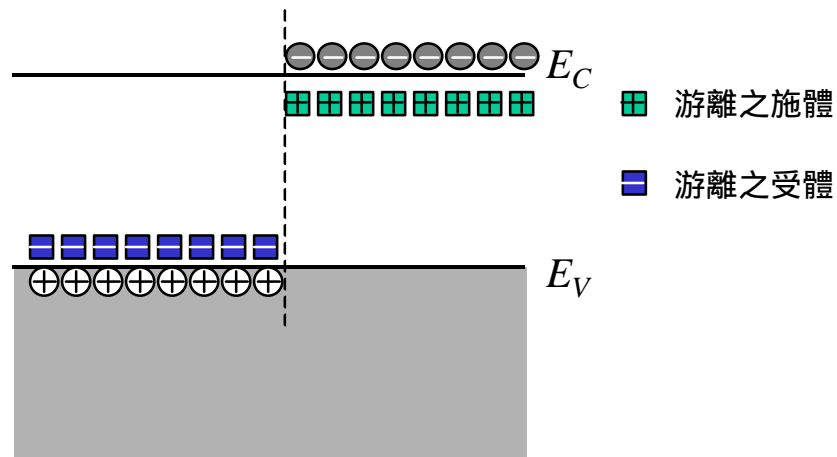
2. 二極體的電流電壓特性--- $I = I_S \left( e^{\frac{v_D}{hV_T}} - 1 \right)$

# 1. 二極體之基本結構---pn 介面

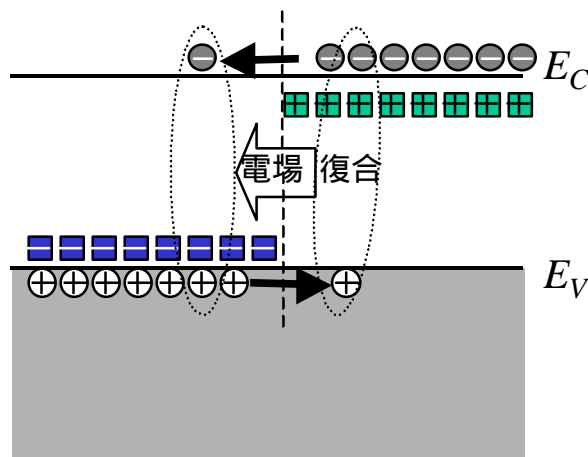
## A. 介面與空乏區(Junction and depletion region)



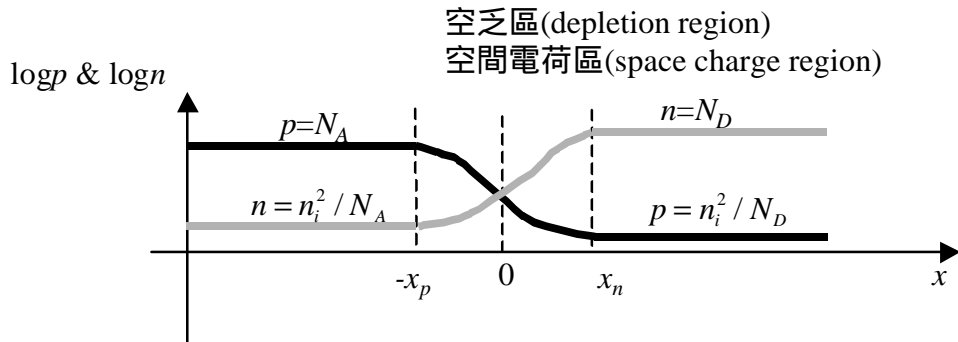
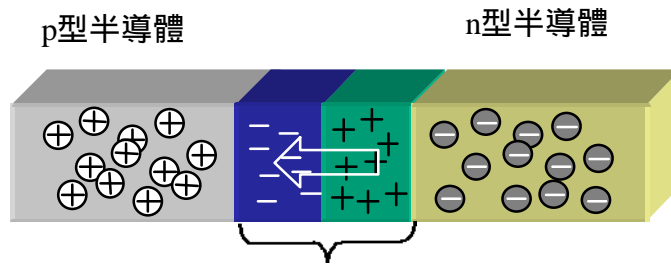
能帶圖 (電中性)



由於電子與電洞之分布不均勻產生擴散，擴散後電中性被破壞，產生電場。



# 應用電子學



由全域之電中性

$$x_n N_D = x_p N_A$$

即

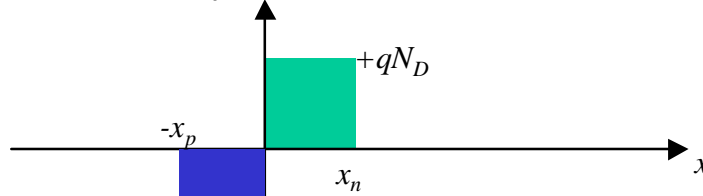
$$x_n = \frac{N_A}{N_A + N_D} x_d$$

$$x_p = \frac{N_D}{N_A + N_D} x_d$$

$$x_d = x_n + x_p$$

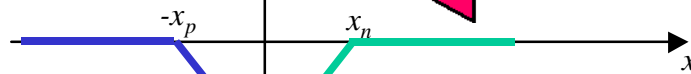
$x_d$  空乏區寬度

$\rho(x)$  charge density



$E(x)$  electric field

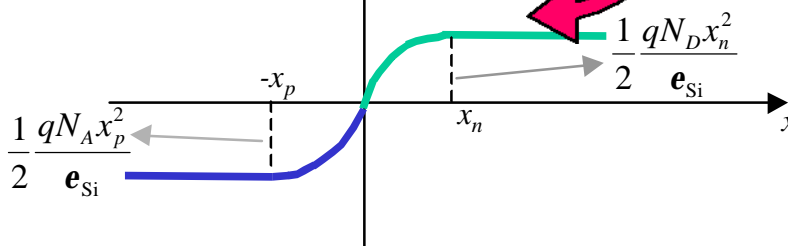
$$\frac{dE}{dx} = \frac{\mathbf{r}}{\mathbf{e}_{Si}}$$



$$|E_{\max}| = \frac{qN_D x_n}{\mathbf{e}_{Si}} = \frac{qN_A x_p}{\mathbf{e}_{Si}}$$

$V(x)$  electric potential

$$\frac{dV}{dx} = -E$$



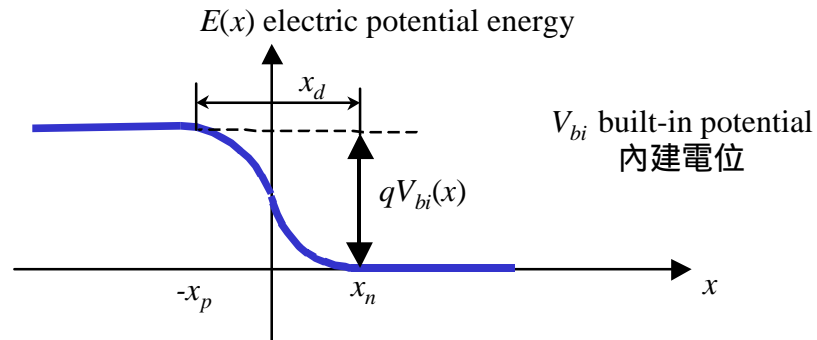
$$\frac{1}{2} \frac{qN_A x_p^2}{\mathbf{e}_{Si}}$$

$$\frac{1}{2} \frac{qN_D x_n^2}{\mathbf{e}_{Si}}$$

## 應用電子學

對電子而言，電位能  $E = -qV$

$E \downarrow \quad V \uparrow$



$$\begin{aligned}
 V_{bi} &= \frac{1}{2} \frac{qN_A x_p^2}{e_{Si}} + \frac{1}{2} \frac{qN_D x_n^2}{e_{Si}} \\
 &= \frac{1}{2} \frac{q}{e_{Si}} (N_A x_p^2 + N_D x_n^2) \\
 &= \frac{1}{2} \frac{q}{e_{Si}} \left( N_A \left( \frac{N_D}{N_A + N_D} \right)^2 x_d^2 + N_D \left( \frac{N_A}{N_A + N_D} \right)^2 x_d^2 \right) \\
 &= \frac{1}{2} \frac{q}{e_{Si}} \left( \frac{N_A N_D}{N_A + N_D} \right) x_d^2
 \end{aligned}$$

$$x_d = \sqrt{\frac{2e_{Si} V_{bi}}{q} \left( \frac{N_A + N_D}{N_A N_D} \right)}$$

對one-sided abrupt junction:

$$\begin{cases}
 \text{n}^+\text{-p} (N_D \gg N_A) \quad x_d \sim x_p & V_{bi} = \frac{1}{2} \frac{qN_A x_d^2}{e_{Si}} \\
 \text{n-p}^+ (N_A \gg N_D) \quad x_d \sim x_n & V_{bi} = \frac{1}{2} \frac{qN_D x_d^2}{e_{Si}}
 \end{cases}$$

## 應用電子學

求內建電位  $V_{bi}$

這裡我們用到在平衡時電洞(電子)流為零，即擴散電流和漂移電流底消。

$$J_p = qp\mathbf{m}_p E - qD_p \frac{dp}{dx} = 0$$

$$E = \frac{D_p}{\mathbf{m}_p} \frac{dp}{pdx} = -\frac{dV}{dx}$$

=  $kT/q$  Einstein Relationship

$$dV = -\frac{kT}{q} \frac{dp}{p}$$

積分範圍由空乏區的一端  $-x_p$   
積分到另一端  $x_n$

$$V_{bi} = \int_{-x_p}^{x_n} dV = -\frac{kT}{q} \int_{p(-x_p)}^{p(x_n)} \frac{dp}{p} = -\frac{kT}{q} \ln p \Big|_{p(-x_p)}^{p(x_n)}$$

$$= -\frac{kT}{q} \ln p \Big|_{\frac{n_i^2}{N_A}}^{n_i^2 / N_D} = -\frac{kT}{q} \left( \ln \frac{n_i^2}{N_D} - \ln N_A \right)$$

$$V_{bi} = \frac{kT}{q} \ln \frac{N_A N_D}{n_i^2} = \frac{kT}{q} \left( \ln \frac{N_A}{n_i} + \ln \frac{N_D}{n_i} \right)$$

給定  $N_A$  及  $N_D$

$$V_{bi} = \frac{kT}{q} \ln \frac{N_A N_D}{n_i^2}$$

計算內建電位  $V_{bi}$

計算空乏區寬度  $x_d$

$$x_d = \sqrt{\frac{2e_{Si} V_{bi}}{q} \left( \frac{N_A + N_D}{N_A N_D} \right)}$$

中興大學 孫允武

**例題** 300K的Si ,  $n_i=1.45\times 10^{10} \text{ cm}^{-3}$

(A)  $N_A=N_D=10^{19} \text{ cm}^{-3}$

$$V_{bi} = \frac{kT}{q} \ln \frac{N_A N_D}{n_i^2} = 25.8\text{mV} \ln \frac{10^{19} \times 10^{19}}{(1.45 \times 10^{10})^2}$$

$$= 1050\text{mV} = 1.05\text{V}$$

$$x_d = \sqrt{\frac{2e_{\text{Si}} V_{bi}}{q} \left( \frac{N_A + N_D}{N_A N_D} \right)}$$

$$= \sqrt{\frac{2 \times 1.05 \times 10^{-12} (\text{F/cm}) 1.05\text{V}}{1.6 \times 10^{-19} \text{C}} \left( \frac{10^{19} + 10^{19}}{10^{19} \times 10^{19}} (\text{cm}^3) \right)}$$

$$= 1.66 \times 10^{-6} \text{ cm} = 16.6\text{nm}$$

(B)  $N_A=10^{17} \text{ cm}^{-3}$  ,  $N_D= 10^{19} \text{ cm}^{-3}$

$$V_{bi} = \frac{kT}{q} \ln \frac{N_A N_D}{n_i^2} = 25.8\text{mV} \ln \frac{10^{17} \times 10^{19}}{(1.45 \times 10^{10})^2}$$

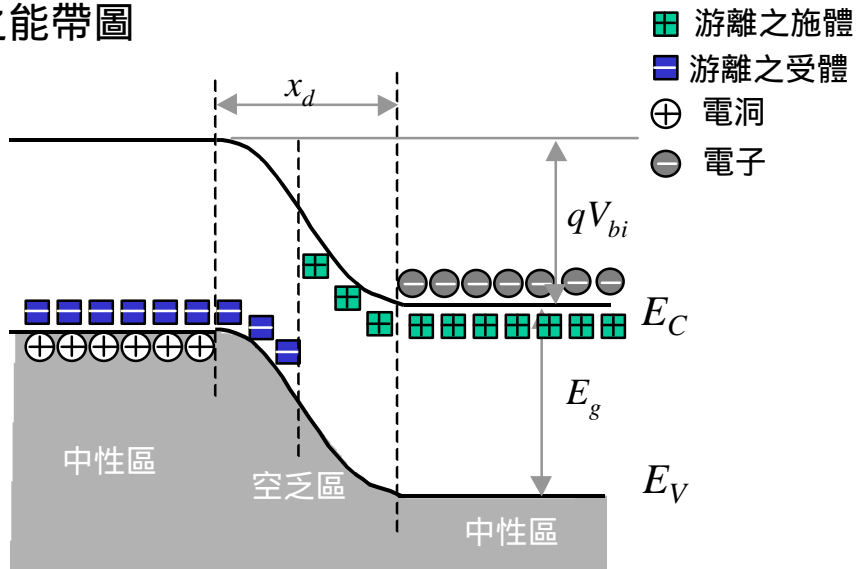
$$= 931\text{mV} = 0.93\text{V}$$

$$x_d = \sqrt{\frac{2e_{\text{Si}} V_{bi}}{q} \left( \frac{N_A + N_D}{N_A N_D} \right)}$$

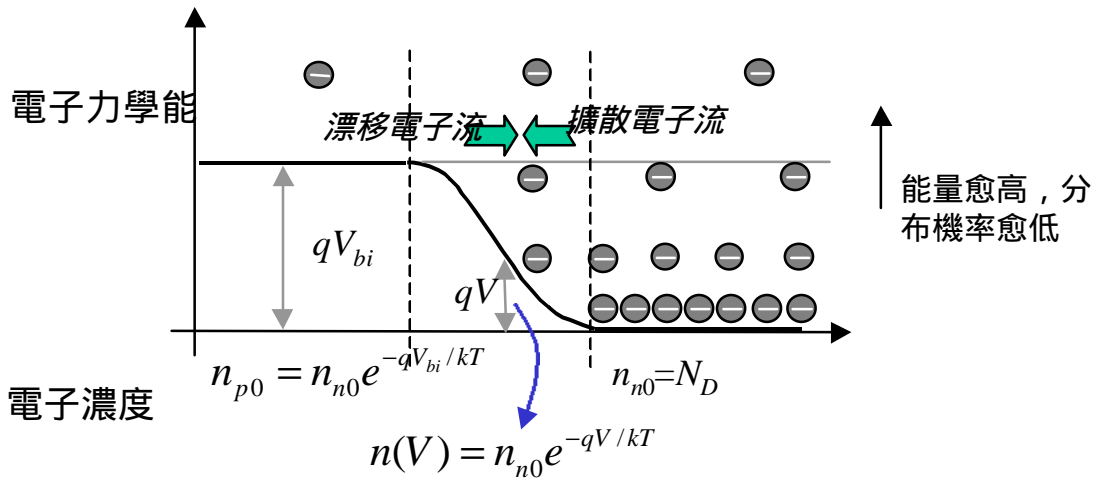
$$= \sqrt{\frac{2 \times 1.05 \times 10^{-12} (\text{F/cm}) 0.93\text{V}}{1.6 \times 10^{-19} \text{C}} \left( \frac{10^{17} + 10^{19}}{10^{17} \times 10^{19}} (\text{cm}^3) \right)}$$

$$= 1.11 \times 10^{-5} \text{ cm} = 11\text{nm}$$

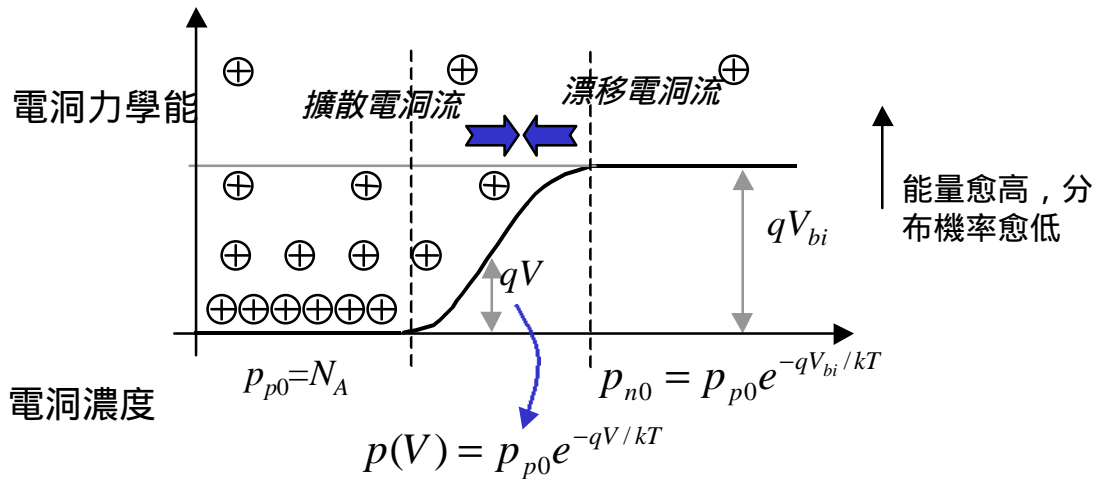
平衡時之能帶圖



電子所見到之位能分布及電子分布示意圖

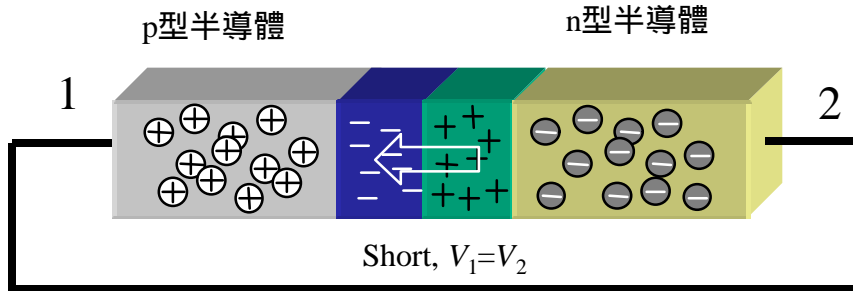


電洞所見到之位能分布及電洞分布示意圖

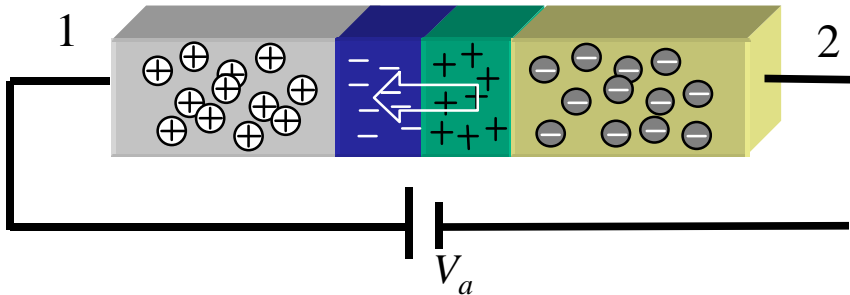


B. 加偏壓後之pn介面

上節所討論的介面，p及n兩極並沒有加電壓，即

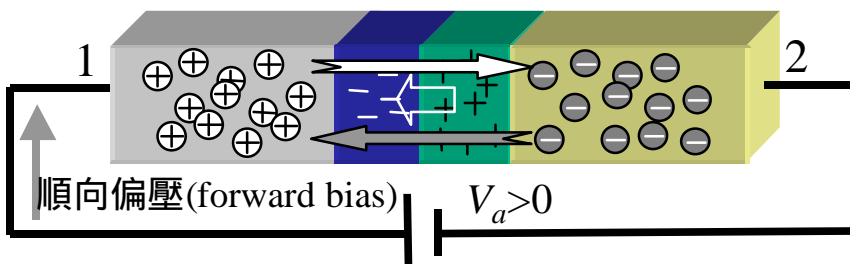


假如有加電壓，即 $V_1 - V_2 = V_a \neq 0$ ，結果如何？

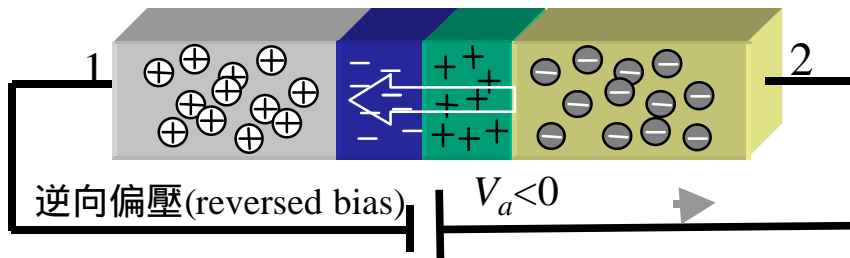


直覺圖像

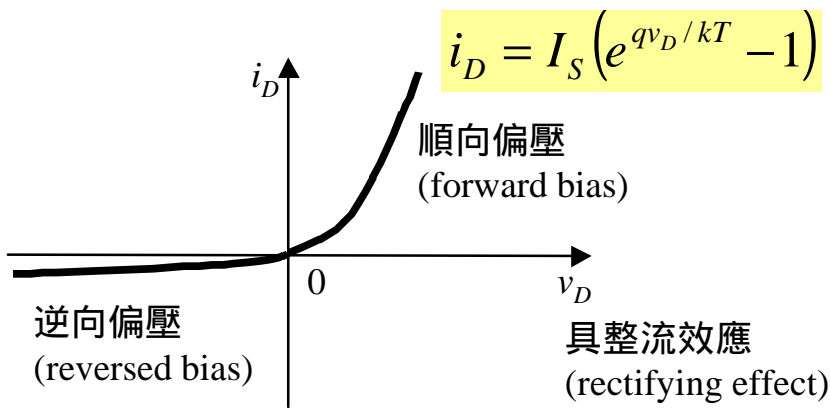
假如 $V_1 - V_2 = V_a > 0$ ，外加電場方向和內建電場相反，結果電場變小



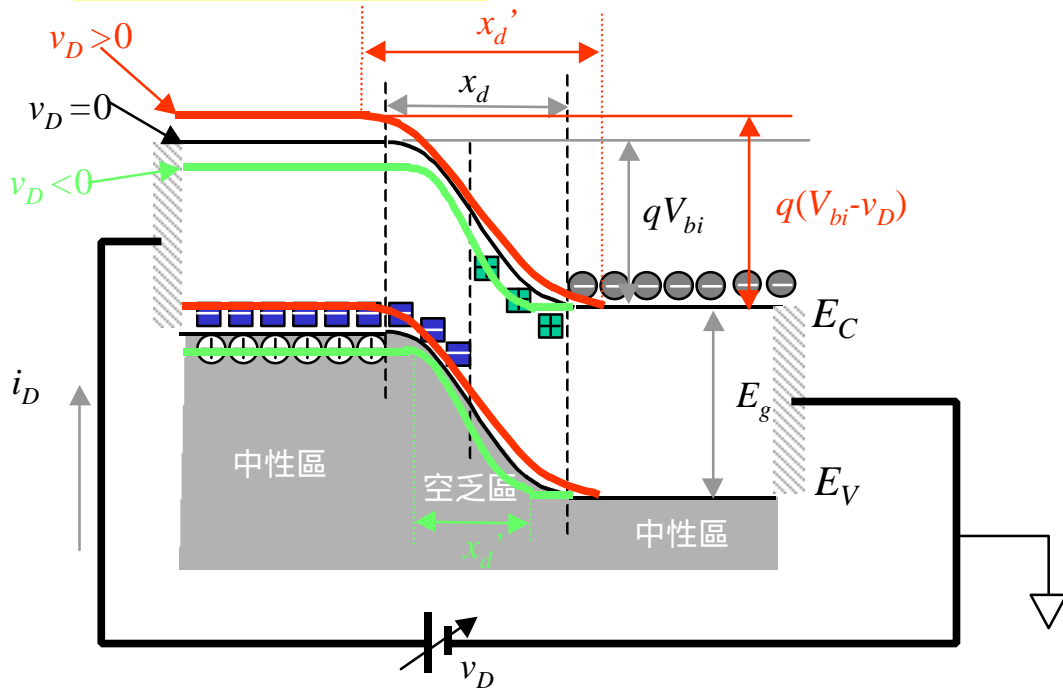
假如 $V_1 - V_2 = V_a < 0$ ，外加電場方向和內建電場相同，結果電場變大







加偏壓對空乏區之影響

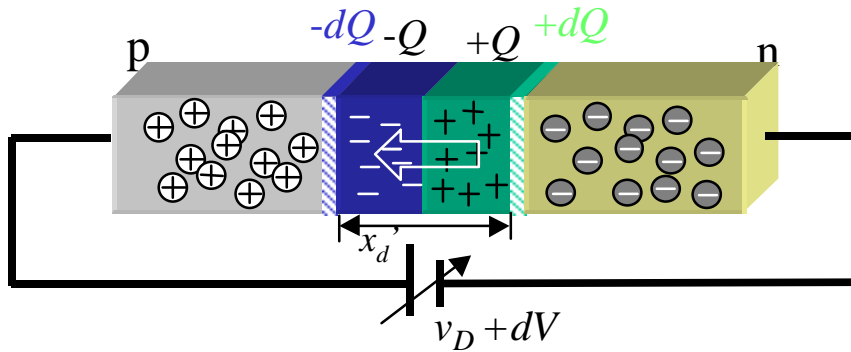


空乏區之寬度

$$x_d = \sqrt{\frac{2e_{Si} V_{bi}}{q} \left( \frac{N_A + N_D}{N_A N_D} \right)}$$

$$x'_d = \sqrt{\frac{2e_{Si} (V_{bi} - v_D)}{q} \left( \frac{N_A + N_D}{N_A N_D} \right)}$$

C. 接面電容(Junction Capacitance)



偏壓改變  $dV$  時,  $x_d$  改變, 同時產生儲存電荷的改變  $\pm dQ$ 。

$dV \longrightarrow \pm dQ$  電容的效應

電容有多大?

$$C_j = \frac{\epsilon_{Si}}{x_d} \quad \text{電容/單位面積}$$

(和平行板電容相同)

$x_d$  是偏壓  $v_D$  的函數, 接面電容  $C_j$  也是  $v_D$  的函數。

$$C_j = \frac{\epsilon_{Si}}{x_d} = \left[ \frac{q\epsilon_{Si}}{2(V_{bi} - v_D)} \frac{N_A N_D}{N_A + N_D} \right]^{1/2}$$

Only for abrupt junction!!

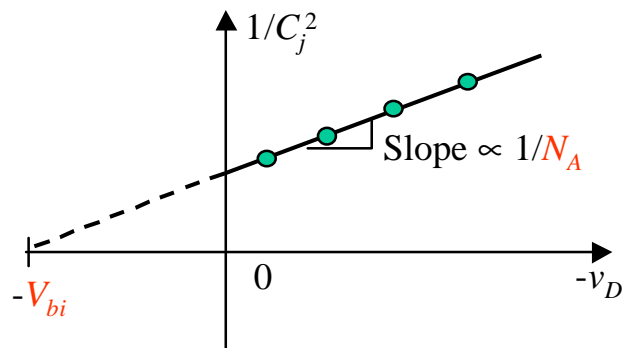
假如只考慮 one-sided abrupt junction, 例如  $n^+ - p$ ,  $N_D \gg N_A$

$$C_j = \frac{\epsilon_{Si}}{x_d} \approx \left[ \frac{q\epsilon_{Si} N_A}{2(V_{bi} - v_D)} \right]^{1/2}$$

$$C_j \propto (V_{bi} - v_D)^{-1/2}$$

$$\frac{1}{C_j^2} \approx \frac{2(V_{bi} - v_D)}{q e_{Si} N_A}$$

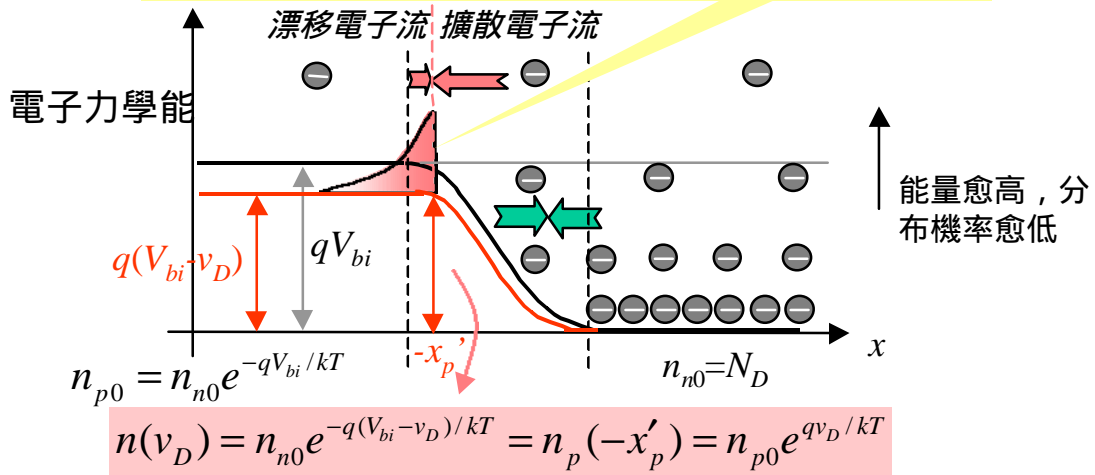
取 $1/C_j^2$ 對 $-v_D$ 作圖



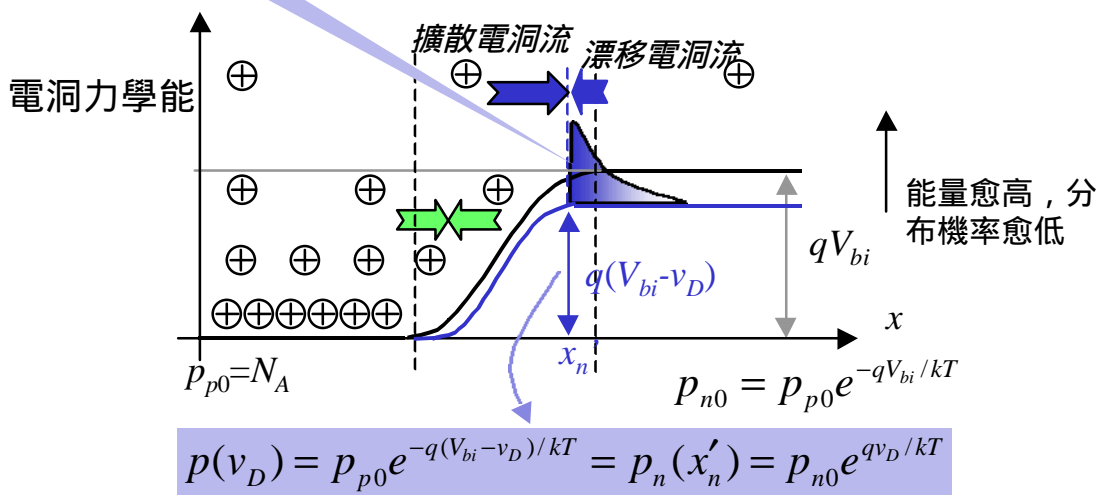
逆向偏壓的pn接面可用作偏壓調變的可變電容。

2. 二極體的電流電壓特性 ---  $I = I_S \left( e^{\frac{v_D}{V_T}} - 1 \right)$

順向偏壓時多出電子在  $-x'_p$  處注入(injection) p型半導體中，並向p型半導體中擴散，同時和電洞復合。



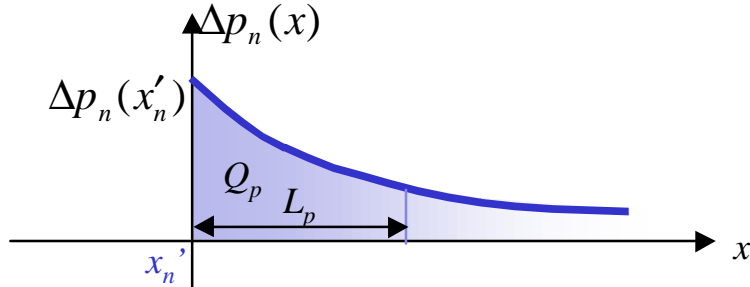
順向偏壓時多出電洞在  $x'_n$  處注入(injection) n型半導體中，並向n型半導體中擴散，同時和電子復合。



## 應用電子學

### 計算多出載體擴散電流

以電洞為例：



$$p_n(x'_n) = p_{p0} e^{-q(V_{bi} - v_D)/kT} = p_{n0} e^{qv_D/kT}$$

$$\Delta p_n(x'_n) = p_n(x'_n) - p_{n0} = p_{n0} (e^{qv_D/kT} - 1)$$

$$\Delta p_n(x) = \Delta p_n(x'_n) e^{-\frac{x-x'_n}{L_p}} = p_{n0} (e^{qv_D/kT} - 1) e^{-\frac{x-x'_n}{L_p}}$$

$$i_{D,p} = -AqD_p \frac{\partial \Delta p_n(x)}{\partial x} = \frac{AqD_p p_{n0}}{L_p} (e^{qv_D/kT} - 1) e^{-\frac{x-x'_n}{L_p}}$$

$$i_{D,p}(x'_n) = \frac{AqD_p p_{n0}}{L_p} (e^{qv_D/kT} - 1) = \frac{AqD_p n_i^2}{L_p N_D} (e^{qv_D/kT} - 1)$$

在n型區之多出電洞之總電荷為

$$\begin{aligned} Q_p &= Aq \int_{x'_n}^{\infty} \Delta p_n(x) dx = Aq \Delta p_n(x'_n) \int_{x'_n}^{\infty} e^{-\frac{x-x'_n}{L_p}} dx = Aq \Delta p_n(x'_n) L_p \\ &= Aq L_p p_{n0} (e^{qv_D/kT} - 1) \end{aligned}$$

$$L_p = \sqrt{D_p t_p} \Rightarrow L_p^2 = D_p t_p$$

$$i_{D,p}(x'_n) = \frac{AqD_p p_{n0}}{L_p} (e^{qv_D/kT} - 1) = \frac{AqL_p p_{n0}}{t_p} (e^{qv_D/kT} - 1) = \frac{Q_p}{t_p}$$

$t_p$  為在n型區之多出電洞之生命期

## 應用電子學

同理可得電子之擴散電流

$$\Delta n_p(x) = \Delta n_p(-x'_p) e^{-\frac{x+x'_p}{L_n}} = n_{p0} (e^{qv_D/kT} - 1) e^{-\frac{x+x'_p}{L_n}}$$

$$i_{D,n} = AqD_n \frac{\partial \Delta n_p(x)}{\partial x} = \frac{AqD_n n_{p0}}{L_n} (e^{qv_D/kT} - 1) e^{-\frac{x+x'_p}{L_n}}$$

$$i_{D,n}(-x'_p) = \frac{AqD_n n_{p0}}{L_n} (e^{qv_D/kT} - 1) = \frac{AqD_n n_i^2}{L_n N_A} (e^{qv_D/kT} - 1)$$

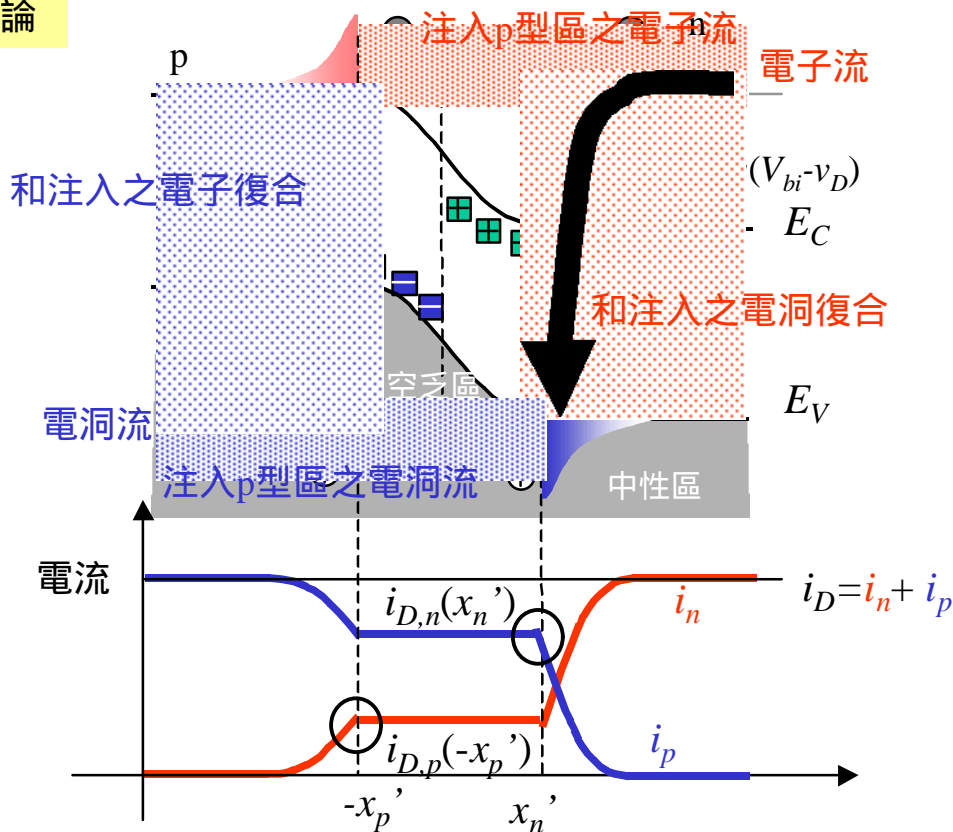
$$Q_n = Aq \int_{-\infty}^{-x'_p} \Delta n_p(x) dx = Aq \Delta n_p(-x'_p) \int_{x'_n}^{\infty} e^{-\frac{x+x'_p}{L_n}} dx = Aq \Delta n_p(-x'_p) L_n$$

$$= Aq L_n n_{p0} (e^{qv_D/kT} - 1)$$

$$L_n = \sqrt{D_n t_n} \Rightarrow L_n^2 = D_n t_n$$

$$i_{D,n}(-x'_p) = \frac{AqD_n n_{p0}}{L_n} (e^{qv_D/kT} - 1) = \frac{AqL_n n_{p0}}{t_n} (e^{qv_D/kT} - 1) = \frac{Q_n}{t_n}$$

### 結論



$$i_D = i_{D,n}(-x'_p) + i_{D,p}(x'_n) = \frac{Q_n}{t_n} + \frac{Q_p}{t_p}$$

$$i_D = \underbrace{\left( \frac{AqD_n n_i^2}{L_n N_A} + \frac{AqD_p n_i^2}{L_p N_D} \right)}_{I_S} (e^{qv_D/kT} - 1)$$

$$i_D = I_S (e^{qv_D/kT} - 1) \quad \text{理想二極體方程式}$$

$I_S$ : 反向飽和電流, 是溫度的函數。

我們假設了:

- 空乏區中沒有產生和復合
- 低注入

實際二極體方程式

$$i_D = I_S (e^{qv_D/hkT} - 1)$$

$h$  在1與2之間

和空乏區或邊界之復合有關

$h$ : 理想因子(ideality factor)

emission coefficient

有些人用  $n$  表示

實如何測量  $h$  及  $I_S$  ?

在順向偏壓時, 假如  $e^{qv_D/hkT} \gg 1$

$$i_D \approx I_S e^{qv_D/hkT} \Rightarrow \log i_D = \log I_S + \frac{qv_D}{hkT} \log e$$

